

基于贝叶斯 Wishart 波动模型的原油市场与股市动态相依性研究

朱慧明, 彭成, 游万海, 邓超

(湖南大学工商管理学院, 长沙 410082)

摘要: 针对时变相关系数矩阵在多变量随机波动模型的估计问题, 构建了贝叶斯动态相关 Wishart 波动模型。在 CC-MSV 模型的基础上, 设置精度矩阵服从 Wishart 分布, 使得模型的相关系数矩阵具有时变特征。通过模型的统计结构分析, 选择参数先验分布, 设计相应的 Gibbs-MTM-ARMS 混合算法, 据此估计模型参数; 并利用上证综合指数、标普 500 指数与原油期货价格数据进行实证分析。研究结果表明: 模型能够有效地刻画原油市场与股票市场的动态相依性; 金融危机期间, 股票市场与原油市场的相关性较强, 并且难以判断正负方向; 金融危机后, 中国股票市场与原油市场呈现极微弱的相关性, 而美国股票市场与原油市场的正相关性较为明显。

关键词: 动态相依性; 随机波动; 贝叶斯分析; Wishart 分布; Gibbs-MTM-ARMS 混合算法
中图分类号: F224 **文献标识码:** A

1 引言

原油作为基础的能源和化工原料, 是最主要的生产要素之一, 在经济与金融发展中发挥着重要的作用。股票市场是经济发展水平的重要标志, 研究国际原油市场与股票市场的关系无论是从国家能源安全, 还是从风险防范、资源配置角度都具有重要的理论意义与现实意义。随着世界经济对原油依赖性越来越强, 原油市场与股票市场的关系也日益成为学者们关注的焦点问题^[1-7]。目前, 大量文献主要从收益的视角研究原油市场与股票市场之间的相关性, 如 Park 和 Ratti^[8]利用多元向量自回归模型发现油价对股票市场具有显著的影响; Miller 和 Ratti^[9]运用协整向量误差相关模型发现原油价格波动与 OECD 国家的股票市场收益是负相关的。除此之外, 从波动模型的角度研究原油市场与股票市场的联系也越来越受到青睐, 如姬强和范英^[10]利用动态条件相关的多元 GARCH 模型, 分析美国次信贷危机发生前后国际原油市场和中美股票市场间的协同性; Vo^[11]利用常数相关和动态相关多变量随机波动模型研究美国股票市场与原油市场的相关性。然而, 多元 GARCH 模型与多变量随机波动模型在考虑波动方程的时候均假

设变量的波动仅受到前期同一变量的影响, 在一定程度上限制了模型的解释能力。Philipov 和 Glickman^[12]、Asai^[13]等人则通过设置精度矩阵服从 Wishart 分布, 解决了这一问题, 使得模型的适应性更加广泛。

资产收益的相关系数在选择最优投资组合, 管理风险, 预测 VaR 等金融活动中具有极为重要的作用。多变量 GARCH 模型^[14]、多变量随机波动(Multivariate Stochastic Volatility, MSV)模型^[15]和 Wishart 自回归(Wishart autoregressive, WAR)模型^[16-18]以协方差为媒介估计资产收益的相关系数; 多变量 GARCH 模型利用前期的信息进行测度, MSV 模型将其视为内在的潜状态变量, WAR 模型将高频数据模拟的已实现方差作为低频收益数据的方差的精确估计。

为了估计原油市场与股票市场的动态相关系数, 构建了动态相关 Wishart 多变量随机波动模型, 设计 Gibbs-MTM-ARMS 混合抽样的 MCMC 数值计算方法对模型参数进行估计; 并且, 利用国际原油期货价格(WTI)、上证综合指数(SSEC)和标普 500 指数(S&P500)进行实证分析, 刻画原油市场与中美股票市场各自的波动特征以及它们之间动态相依性。

2 贝叶斯动态多变量 Wishart 随机波动模型的构建

2.1 动态多变量 Wishart 随机波动模型

多变量随机波动模型可以看作是一种对多变量 ARCH/GARCH 类模型的扩展。它通过对资产收益波动加入一个随机干扰项,使波动与收益的变化同时具有随机不确定性。考虑常数相关多变量随机波动 (Constant Correlation MSV, CC-MSV) 模型:

$$\begin{aligned} y_t &= \Omega_t \varepsilon_t, \quad \varepsilon_t \sim N(0, P_\varepsilon) \\ \Omega_t &= \text{diag}\{\exp(0.5h_{1t}), \exp(0.5h_{2t}), \dots, \exp(0.5h_{nt})\} \\ h_{t+1} &= \mu + \text{diag}(\varphi_{11}, \varphi_{22}, \dots, \varphi_{nn})(h_t - \mu) + \eta_t \end{aligned} \quad (1)$$

此处, $y_t = (y_{1t}, y_{2t}, \dots, y_{nt})'$ 表示 n 种资产在 t 时刻的收益, 相关系数矩阵为 $P_\varepsilon = (\rho_{ij})_{n \times n}$ 是常数矩阵 (对角线元素为 1, 即 $\rho_{ii} = 1$)。潜在的状态变量 $h_t = (h_{1t}, h_{2t}, \dots, h_{nt})'$ 和 $\mu = (\mu_1, \mu_2, \dots, \mu_n)'$ 均表示 $n \times 1$ 维的向量; 并且, 指定 $h_0 = \mu$ 。第一个等式描述收益的变化特征, 称为收益方程; 第三个等式称为波动方程, 描述收益的波动特征, $\eta_t \sim N(0, \text{diag}(\sigma_{\eta 1}^2, \sigma_{\eta 2}^2, \dots, \sigma_{\eta n}^2))$ 为随机扰动项。CC-MSV 模型能够有效的估计协方差矩阵 $\text{Var}(y_t) = \Sigma_t = (\sigma_{ij,t})$, 刻画潜在的波动特征, 但是不能体现金融收益序列时变的相关系数特征, 而在一定程度上限制了它的应用。

为了得到收益序列的动态相关系数矩阵, Engle^[19] 提出了动态条件相关 (Dynamic Conditional Correlation, DCC) 模型, 分析多变量 GARCH 模型中相关系数矩阵的动态行为。假设 $D_t = \text{diag}\{\sigma_{11,t}^{1/2}, \sigma_{22,t}^{1/2}, \dots, \sigma_{nn,t}^{1/2}\}$ 为收益向量在 t 时刻的协方差矩阵, 则动态相关系数矩阵 $P_t = (\rho_{i,j})_{n \times n}$ 为

$$P_t = D_t^{-1} \Sigma_t D_t^{-1} \quad (2)$$

显然, t 时刻收益向量的协方差阵为 $\Sigma_t = D_t P_t D_t$ 。若协方差阵 Σ_t 是正定的, 存在精度矩阵 $\Phi_t = \Sigma_t^{-1}$, 且假设 Φ_t 服从自由度为 ν , 尺度矩阵为 S_{t-1} 的 Wishart 分布, 那么, 构建 DC-W-MSV

模型:

$$\begin{aligned} \Phi_t | \nu, S_{t-1} &\sim \text{Wishart}_n(\nu, S_{t-1}) \\ S_t &= \frac{1}{\nu} \sum_{i=0}^d \Phi_{t-i}^{l_i/2} M_i \Phi_{t-i}^{l_i/2} \end{aligned} \quad (3)$$

此处, Wishart 表示 Wishart 分布, $\Phi_{t-i}^{l_i/2}$ 表示矩阵 Φ_{t-i} 的特征值分解, M_i 是对称正定矩阵, l_i 表示尺度参数, d 表示滞后阶数。因为精度矩阵 $\Phi_t \sim \text{Wishart}_n(\nu, S_{t-1})$, 所以协方差阵 $\Sigma_t = \Phi_t^{-1} \sim i\text{Wishart}_n(\nu, S_{t-1}^{-1})$ ($i\text{Wishart}$ 是逆 Wishart 分布)。根据逆 Wishart 分布的性质, 可以推导协方差阵的条件期望:

$$E(\Sigma_t | \nu, S_{t-1}) = (\nu - n - 1)^{-1} S_{t-1}^{-1} \quad (4)$$

显然, 参数 d 和 $\Theta = \{\nu, l_{0,d}, M_{0,d}\}$ 决定了协方差矩阵的动态行为。 M_i 衡量了协方差矩阵的跨期敏感度, 反映协方差受到前期的影响。 ν 的大小决定 Φ_t 估计值的离散程度。滞后阶数 d 表明 Σ_t 的持续效应。 l_i 揭示了协方差跨期关系的强度, 称为持久参数。 l_i 越接近 0, 当期波动对未来资产回报的波动影响越小; l_i 越接近 1, 影响越大; $l_i > 1$ 表明波动结构是非平稳的。

2.2 模型参数的贝叶斯后验推断

多变量随机波动模型中因为包含不可观测的隐波动变量, 导致难以表达精确的似然函数形式, 使得估计潜在状态变量和参数都极为困难。MCMC 算法因为处理高维积分问题方面的独特优势, 成为时变波动模型中应用最广泛的方法。

按照前文的分析, 分为两个阶段估计模型中的相关系数矩阵 $\{P_t\}$:

(I) 估计 CC-MSV 模型中的参数 $(\hat{\mu}, \hat{\varphi}_{ii}, \hat{\sigma}_{\eta_i})$, $i = 1, 2, \dots, n$ 和潜在的状态变量 $\{\hat{h}_t\}$, $t = 1, 2, \dots, T$; 令 $\gamma_{it} = y_{it} \exp(-\hat{h}_{it}/2)$, $i = 1, 2, \dots, n$, 进行滤波, 做标准化处理, 此处 \hat{h}_{it} 是后验均值。

(II) 令 $\gamma_t = (\gamma_{1t}, \gamma_{2t}, \dots, \gamma_{nt})' \sim N(0, P_t)$, 同时结合模型 (3), 从而估计参数 Θ 和动态相关系数矩阵 $\{P_t\}$, $t = 1, 2, \dots, T$ 。

CC-MSV 模型的 MCMC 算法设计参考文献 [15], 下文主要讨论如何设计步骤 (II) 的 MCMC

算法。记 $A_{r,m} = \{A_r, A_{r+1}, \dots, A_m\}$ ，给定 P_i 的条件下， γ_i 服从均值向量为 0 和协方差为 P_i 的多元正态分布；而给定参数 Θ 和 $\Phi_{1:T-1}$ 的条件下， Φ_i 服从自由度为 ν ，尺度矩阵为 S_{i-1} 的 Wishart 分布。那么， $\gamma_{1:T}$ 和 $\Phi_{1:T}$ 的联合密度函数为边缘似然函数与潜变量 $\Phi_{1:T}$ 的密度函数之积，即：

$$\pi(\gamma_{1:T}, \Phi_{1:T} | \Theta) \propto \prod_{i=1}^T |P_i|^{1/2} \exp\{-\frac{1}{2}(\gamma_i' P_i \gamma_i)\} \times \frac{|S_{i-1}^{-1}|^{v/2} |\Phi_i|^{(v-n-1)/2}}{2^{vn/2} \Gamma_n(v/2)} \exp\{-\frac{1}{2} \text{tr}(S_{i-1}^{-1} \Phi_i)\} \quad (5)$$

从式(5)中可以看出，模型参数 Θ 只与 $\pi(\Phi_{1:T} | \Theta)$ 有关，因此，可以独立地推断它的完全条件后验密度函数；而推导 $\{\Phi_i\}$ 的完全条件后验密度需要考虑相关系数矩阵 P_i 。

为了进行贝叶斯分析，需要设置模型参数 Θ 的先验分布。根据 Philipov 和 Glickman^[12]，Asai 和 McAleer^[13]等人的观点，模型参数先验分布的设置如下：

$$\pi(M_i) \sim i \text{Wishart}_n(f_{M_i0}, (f_{M_i0} - n - 1)I_n);$$

$$\pi(l_i) \propto 1; \pi(\nu - n) \sim \text{Gamma}(\alpha_\nu, \beta_\nu) \quad (6)$$

此处，*Gamma*表示伽玛分布。因为 Wishart 分布中，自由度 ν 必须大于尺度矩阵的维数 n ，所以设置 $\nu - n$ 的先验分布为伽玛分布，从而保证 $\nu > n$ 。同样，为了满足矩阵参数 M_i 的对称正定性，这里选择逆 Wishart 分布作为先验分布，当 $d = 0$ 时，逆 Wishart 分布是共轭先验。 l_i 设置为扩散先验，使得对 l_i 可能的取值具有相等概率。

下面给出参数 Θ 和潜在状态变量 Φ_i 的后验完全条件密度函数的具体形式，进而设计 MCMC 抽样算法，估计模型参数。

(1) 潜在状态变量 Φ_i 的完全条件后验密度函数为

$$\pi(\Phi_i | \Phi_{1:T-1}, \Phi_{i+T}, \gamma_{1:T}, \Theta) \propto |P_i^{-1}|^{1/2} |\Phi_i|^{(v-n-1)/2} \times \exp\{-\frac{1}{2}(\gamma_i' P_i^{-1} \gamma_i + \Delta(\Phi_i))/2\} \quad (7)$$

此处 $\Delta(\Phi_i) = \nu \sum_{k=i+1}^T \log(|S_{k-1}^{-1}|) - \sum_{k=i+1}^T \text{tr}(S_{k-1}^{-1} \Phi_k)$ ， $\gamma = \min\{t + d + 1, T\}$ 。根据 Φ_i 的条件后验密度函数进行抽样之前，需要指定 $(\Phi_0, \Phi_{-1}, \dots, \Phi_{-d})$ 。

采用 MTM (Multiple-Try Metropolis) 算法，估计参数 Φ_i ，假设当前值为 $\Phi_i^{(r)}$ ，MTM 算法的具体步骤如下：

① 独立从分布 $\xi \sim \text{Wishart}_n(1/\Delta_{\Phi_i}, \Delta_{\Phi_i} I)$ 生成 $(\xi_1, \xi_2, \dots, \xi_k)$ ，令 $\Phi_{i(i)} = (\Phi_i^{(r)})^{1/2} \xi_i (\Phi_i^{(r)})^{1/2}$ ， $i = 1, 2, \dots, k$ ，此处， $(\Phi_i^{(r)})^{1/2}$ 是 $\Phi_i^{(r)}$ 的平方根阵。那么， $\Phi_{i(i)} \sim \text{Wishart}_n(1/\Delta_{\Phi_i}, \Delta_{\Phi_i} \Phi_i^{(r)})$ 即为 $\Phi_i^{(r)}$ 的建议分布，令 $\lambda(\Phi_i^{(r)}, \Phi_{i(i)}) = (|\Phi_i^{(r)}| \cdot |\Phi_{i(i)}|)^{(n+1)/2} \mathbf{b}$ 为对称函数，则

$$w(\Phi_{i(i)}, \Phi_i^{(r)}) = \pi(\Phi_{i(i)} | \cdot) \pi(\Phi_i^{(r)} | \Phi_{i(i)}) \lambda(\Phi_i^{(r)}, \Phi_{i(i)}) = |\Phi_{i(i)}|^{(n+1)/2} |\xi_i^{-1}|^{1/(2\Delta_{\Phi_i})} \exp\{-0.5 \text{tr}(\xi_i^{-1})\} \quad (8)$$

② 随机地从 $\{\Phi_{i(i)}, \Phi_{i(2)}, \dots, \Phi_{i(k)}\}$ 按照比例 $w(\Phi_{i(i)}, \Phi_i^{(r)})$ 抽取候选值 Φ_i^* ，并令 $W_i = \sum_{i=1}^k w(\Phi_{i(i)}, \Phi_i^{(r)})$ 。

③ 按照步骤 ① 生成 Φ_i^* 的参考集合 (Reference Set) $\{\Phi_{i(1)}^*, \Phi_{i(2)}^*, \dots, \Phi_{i(k-1)}^*, \Phi_i^{(r)}\}$ ，注意集合中第 k 个元素为 Φ_i 的当前值；并计算 $w(\Phi_{i(i)}^*, \Phi_i^{(r)})$ ，使得 $W_i = \sum_{i=1}^k w(\Phi_{i(i)}^*, \Phi_i^{(r)})$

④ $\Phi_i^{(r+1)} = \Phi_i^*$ 的接受概率为 $\rho = \min\{1, W_1/W_2\}$ ；否则， $\Phi_i^{(r+1)} = \Phi_i^{(r)}$ 。

参数集 $\Theta = \{\nu, l_{0:d}, M_{0:d}\}$ 含有 $d+2$ 个实参数和 $d+1$ 个矩阵参数。记 $M = M_{0:d}$ ，参数 $\Theta = \{\nu, l_{0:d}, M\}$ 的联合后验密度为：

$$\pi(\nu, l_{0:d}, M | \Phi_{1:T}) \propto \pi(\Phi_{1:T} | \Theta) \pi(\nu) \pi(l_{0:d}) \prod_{i=0}^d \pi(M_i) \quad (9)$$

参数 $\{\nu, l_{0:d}, M\}$ 的先验分布设置是相互独立的。各参数的完全条件后验分布密度函数如下：

(2) 参数 M 的完全条件后验密度为

$$\pi(M | \Phi_{1:T}, \nu, l_{0:d}) \propto \prod_{i=1}^T \text{Wishart}_n(\Phi_i | \nu, S_{i-1}) \times \prod_{i=0}^d i \text{Wishart}_d(M_i | f_{M_i0}, V_{M_i0}) \quad (10)$$

显然，参数难以直接进行抽样，为此，同样采用 MTM 对 M 进行抽样分析，详细步骤参考参数 Φ_i 的抽样方法。当 $d = 0$ 时， M 的完全条件后验分布是自由度为 $\nu T + f_{M_0}$ ，尺度矩阵为 $f_{M_0} I_n + \nu \sum_{i=1}^T \Phi_i^{-1/2} \Phi_i \Phi_i^{-1/2}$ 的逆 Wishart 分布，可直接利用 Gibbs 抽样。

(3) 自由度 ν 的完全条件后验密度为

$$\pi(\nu | \Phi_{1:T}, l_{0:d}, M) \propto \exp\{(\nu \Delta(\nu) + n\nu T \log(\nu) - T \log(\Gamma_\nu(\nu/2) + (\alpha_\nu - 1) \log(\nu - n)))/2\} \quad (11)$$

此处 $\Delta(\nu) = \sum_{t=1}^T (\log |W_{t-1}^{-1}| + \log |\Phi_t|) - nT \log 2 - \text{tr}(\sum_{t=1}^T W_{t-1}^{-1} \Phi_t) + 2/\beta_\nu$ 且 $W_t = \sum_{i=0}^d M_i^{1/2} \Phi_{t-i} (M_i^{1/2})'$ 。

(4) 参数 $\{l_i\}, i=0,1,2,\dots,d$ 的完全条件联合后验密度为

$$\pi(l_{0:d} | \Phi_{1:T}, \nu, M) \propto \exp\left\{\frac{1}{2} \sum_{t=1}^T \nu \ln |S_{t-1}^{-1}| - \text{tr}(S_{t-1}^{-1} \Phi_t)\right\} \quad (13)$$

因为 ν 和 $\{l_i\}, i=0,1,2,\dots,d$ 的条件后验分布的复杂性, 应用 ARMS (Adaptive Rejection Metropolis Sampling) 抽样方法, 从 ν 和 $\{l_i\}, i=0,1,2,\dots,d$ 的条件后验分布进行抽样。

2.3 Gibbs-MTM-ARMS 混合抽样算法设计

根据 DCC-W-MSV 模型中参数的条件后验分布, 设计 Gibbs-MTM-ARMS 混合抽样的数值计算方法, 以此估计模型参数及置信区间。记 $\{\Phi_{1:T}^{(0)}, M^{(0)}, l_{0:d}^{(0)}, \nu^{(0)}\}$ 为参数 $\{\Phi_{1:T}, M, l_{0:d}, \nu\}$ 的初始值; 假设 $\{\Phi_{1:T}^{(r)}, M^{(r)}, l_{0:d}^{(r)}, \nu^{(r)}\}$ 为第 r 次抽样的估计值, 则第 $(r+1)$ 次抽样的迭代步骤如下:

(1) 利用 MCMC 算法, 估计 CC-MSV 模型中的参数, 并得到 DC-W-MSV 的样本数据 γ_t ;

(2) 由 $\pi(\Phi_t | \Phi_{1:T}^{(r+1)}, \Phi_{t+1:T}^{(r)}, M^{(r)}, l_{0:d}^{(r)}, \nu^{(r)})$ 利用 MTM 抽样算法生成 $\Phi_t^{(r+1)}$;

(3) 利用 MTM 算法, 从后验条件分布 $\pi(M | \Phi_{1:T}^{(r+1)}, \nu^{(r)}, l_{0:d}^{(r)})$ 抽取 $M^{(r+1)}$;

(4) 由 $\pi(l_{0:d} | \Phi_{1:T}^{(r+1)}, M^{(r+1)}, \nu^{(r)})$ 利用 ARMS 算法抽取 $l_{0:d}^{(r+1)}$;

(5) 由 $\pi(\nu | \Phi_{1:T}^{(r+1)}, M^{(r+1)}, l_{0:d}^{(r+1)})$ 利用 ARMS 算法抽取 $\nu^{(r+1)}$;

(6) 重复步骤(2)~(5), 直至参数的后验条件分布为平稳分布。

3 实证分析

3.1 指标选取及统计特征分析

为了分析原油市场与股票市场的联系, 选取上证综合指数 (SSECI)、标准普尔 500 指数 (S&P500) 和纽约商业交易所推出的轻质低硫原油 (WTI) 期货价格这三个指标, 在 2006 年 1 月 3 日至 2012 年 12 月 31 日的日收盘价作为样本。舍去节假日差异等因素造成的缺失数据, 共有 1704 个样本, 其中, 上证指数和 S&P500 指数来源于雅虎金融数据库; 原油期货价格来源于 EIA 数据库。数据的选取的跨度包含了美国“次贷危机”引发的全球金融危机和随后发生“欧债危机”; 在此期间, 原油价格波动也尤为剧烈。收益序列: $R_{it} = 100(\ln(p_{i,t}) - \ln(p_{i,t-1}))$, R_{it} 表示收益率; p_{it} 表示指标 i 在时刻 t 的收盘价。各指标的时间趋势图和对数收益率时间图如下:

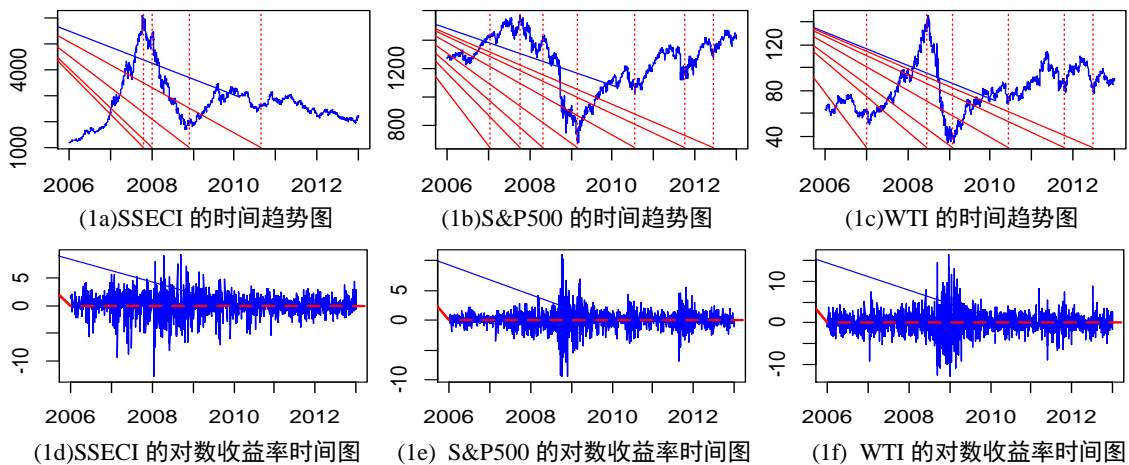


图 1 各指数与对数收益率时间图

从图 1 可知, 各指标的收益率体现波动率聚集的性质, 而且呈现明显的自相关和异方差性

质。为了减弱趋势项及自相关性的影响, 根据 Asai 等人^[13]的观点, 采用门限自回归模型对收

益序列进行处理，即

$$R_{it} = \begin{cases} \alpha_{i,1} + \beta_{i,1} R_{i,t-1} + v_{it}, & R_{i,t-1} \leq \theta_i \\ \alpha_{i,2} + \beta_{i,2} y_{i,t-1} + v_{it}, & R_{i,t-1} > \theta_i \end{cases} \quad (14)$$

那么，残差 $\hat{v}_{it} = R_{it} - E(R_{it} | I_{i,t-1}) = R_{it} - \hat{R}_{it}$ 就是 CC-MSV 模型中均值方程的收益序列， $I_{i,t-1}$ 表示过去的信息集。残差估计如下：

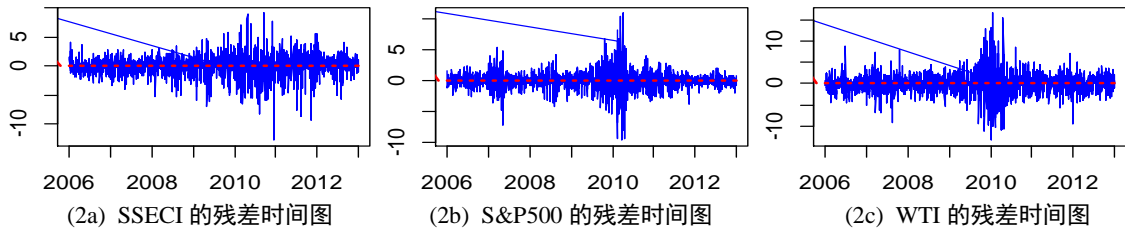


图 2 TAR(1)模型的残差时间图

从图 2 可知，残差出现大幅波动的时期是不同于对数收益率的，而且 SSECI 的残差波动比 S&P500 和 WTI 更加频繁。

WTI 经过处理的数据，构建二元 CC-MSV 模型。迭代次数设置为 30000 次，舍去初始 10000 次不平稳数据，同时为了减少链条自相关性，在剩余链条，每 2 个随机数只保留一个，实际用于分析的数据为 10000 个。模型估计结果如表 1 所示：

3.2 CC-MSV 模型的 MCMC 估计

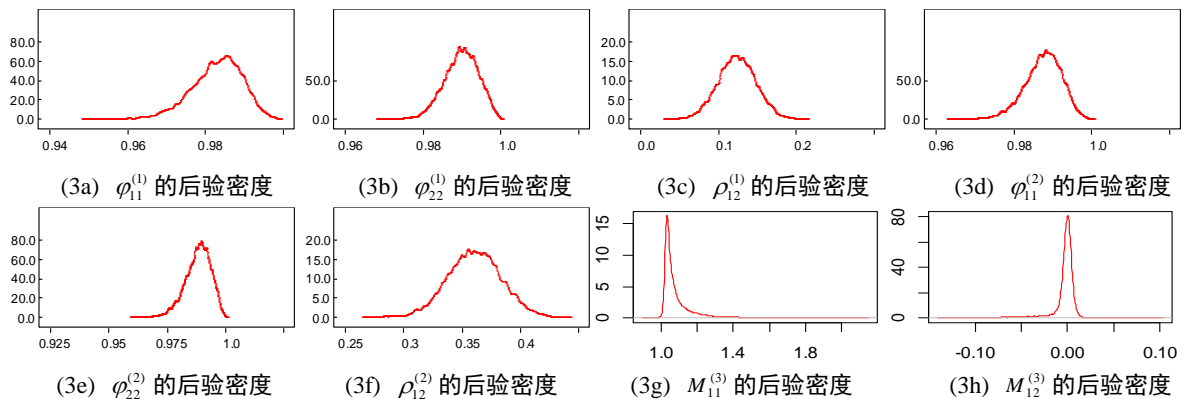
下面分别利用 SSECI 与 WIT、S&P500 与

表 1 CC-MSV 模型参数的 MCMC 估计

参数	SSECI—WTI (模型 1)					S&P500—WTI (模型 2)						
	估计值	标准差	MC 误差	$Q_{0.025}$	$Q_{0.975}$	Z 值	估计值	标准差	MC 误差	$Q_{0.025}$	$Q_{0.975}$	Z 值
μ_1	0.8179	0.2172	0.0109	0.3825	1.2470	-0.9445	-0.0684	0.2911	0.0162	-0.6835	0.4697	-0.1906
μ_2	1.2140	0.2909	0.0214	0.5266	1.6860	1.0671	1.2390	0.3010	0.0226	0.4996	1.7230	-1.0201
φ_{11}	0.9826	0.0064	0.0004	0.9686	0.9937	-0.9562	0.9874	0.0047	0.0003	0.9770	0.9955	-1.8256
φ_{22}	0.9897	0.0043	0.0002	0.9807	0.9974	-1.1411	0.9881	0.0056	0.0004	0.9759	0.9970	1.0291
σ_{η_1}	0.1579	0.0221	0.0021	0.0922	0.1418	1.1051	0.1725	0.0198	0.0018	0.1413	0.2185	1.1661
σ_{η_2}	0.1151	0.0134	0.0012	0.0922	0.1418	1.3698	0.1274	0.0202	0.0019	0.0979	0.1710	-0.5155
ρ_{12}	0.1233	0.0244	0.0005	0.0760	0.1706	-0.9415	0.3605	0.0228	0.0011	0.3157	0.4049	-1.1692

此处， Q 表示分位点。从表 1 中可以看出，各参数 MC 误差远小于标准差，且 Geweke 统计量 (Z 值) 的绝对值小于 1.96，在 95% 的置信水平下，

可判断迭代初的样本均值与迭代末的样本均值不存在显著性的差异，抽样获得的 Markov 链是收敛的。



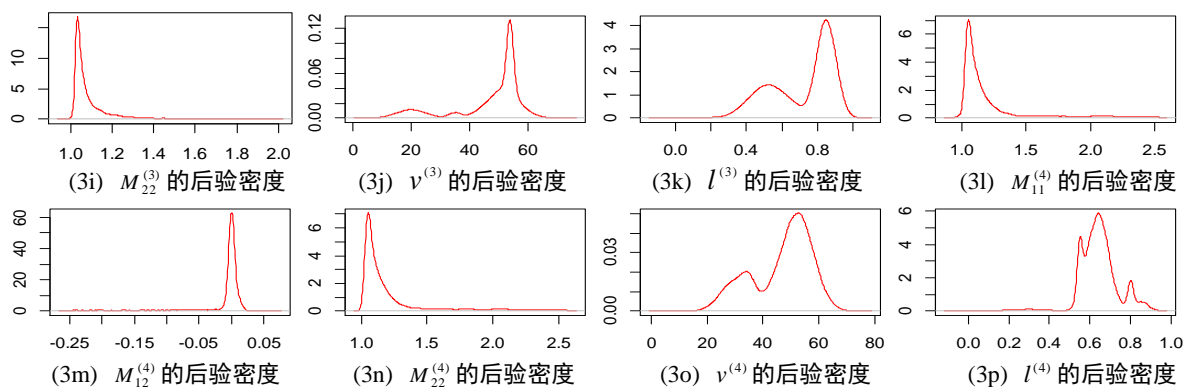


图 3 CC-MSV 模型与 DC-W-MSV 模型中各参数的后验密度图

图 3a-3f 为 CC-MSV 模型中参数 φ_{11} 、 φ_{22} 和 ρ_{12} 的后验分布密度函数图。从图中可以看出，各参数的边缘后验分布核密度估计的曲线平滑，有明

显的单峰对称特征，说明参数贝叶斯估计值的误差非常小。CC-MSV 模型中，波动率估计如图 4 所示：

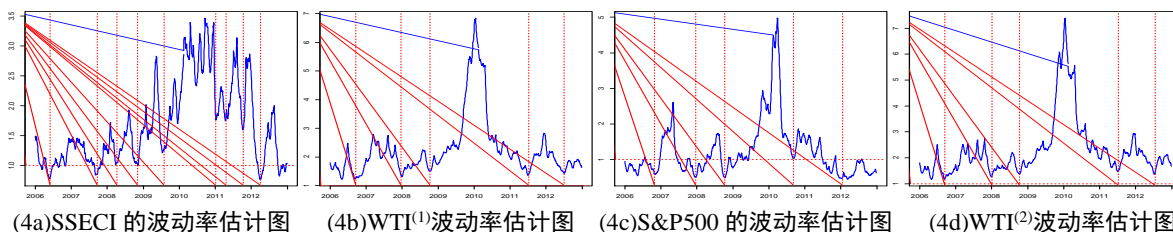


图 4 CC-MSV 模型的波动率估计图

从波动率估计图 4 可以看出，两个模型对 WTI 波动率的估计无显著差异；SSECI 比 S&P500 和 WTI 的波动频率更大，WTI 的波动水平是最大的，S&P500 与 WTI 的波动具有同期性，而 SSECI 表现不明显，这基本与门限自回归的残差图 2 吻合。在 CC-MSV 模型中， $\rho_{12}^{(1)} = 0.1233 > 0$ ， $\rho_{12}^{(2)} = 0.3605 > 0$ 且 $\rho_{12}^{(1)} < \rho_{12}^{(2)}$ ，说明 ① S&P500 与 WTI 的相关性要强于 SSECI 和 WTI 的相关性，美国对石油的依赖大于中国导致原油价格波动对美国市场的影响要高于中国。② WTI 和 SSECI、S&P500 是正相关的，但是 SSECI 表现不明显。从图 1 和图 4 中，可以看出 S&P500 与 WTI 的波动具有协同性，但是 SSECI 与 WTI 的波动则毫无规律。因此，从静态角度研究 SSECI 与 WTI 之间的相关性是不全面的。

果如表 2 所示：

表 2 贝叶斯 DC-W-MSV 模型参数的 MCMC 估计

参数	估计值	标准差	MC 误差			Z 值	
			标准差	$Q_{0.025}$	$Q_{0.975}$		
模 型 3	$M_{11}^{(3)}$	1.1691	0.3267	0.0117	1.0193	2.2617	0.0096
	$M_{12}^{(3)}$	-0.0134	0.0470	0.0013	-0.1579	0.0094	-0.0397
	$M_{22}^{(3)}$	1.1597	0.2930	0.0106	1.0210	2.1120	0.0183
	$v^{(3)}$	51.2806	12.5523	0.6146	15.1411	60.8500	1.4489
模 型 4	$l^{(3)}$	0.7111	0.1826	0.0197	0.3490	0.9365	1.9032
	$M_{11}^{(4)}$	1.2960	0.4694	0.0231	1.0590	1.2430	-0.7162
	$M_{12}^{(4)}$	-0.0701	0.1800	0.0075	-0.0113	0.0032	0.6436
	$M_{22}^{(4)}$	1.3043	0.4699	0.0226	1.0583	1.2494	-0.5709
	$v^{(4)}$	46.6200	10.8393	1.0276	24.0211	62.5954	0.6169
	$l^{(4)}$	0.6418	0.1007	0.0263	0.4420	0.8542	0.1027

表 2 中，各参数 MC 误差远小于标准差，Geweke 统计量的绝对值也小于 1.96，因此，可判断抽样得到的链条是平稳收敛的。各参数的后验密度如图 3g-3p 所示，从图中可知，除了参数 $l^{(3)}$ 、 $v^{(4)}$ 和 $l^{(4)}$ ，其余参数的边缘后验分布核密度估计的

曲线平滑,有明显的单峰对称特征,说明参数贝叶斯估计值的误差非常小。而 $l^{(3)}$ 、 $v^{(4)}$ 和 $l^{(4)}$ 的后验密度图出现双峰,甚至三峰的情况,可能的

是因为数据具有多峰的特征。

DC-W-MSV 模型中各指标的波动率(标准差)与动态相关系数图如下:

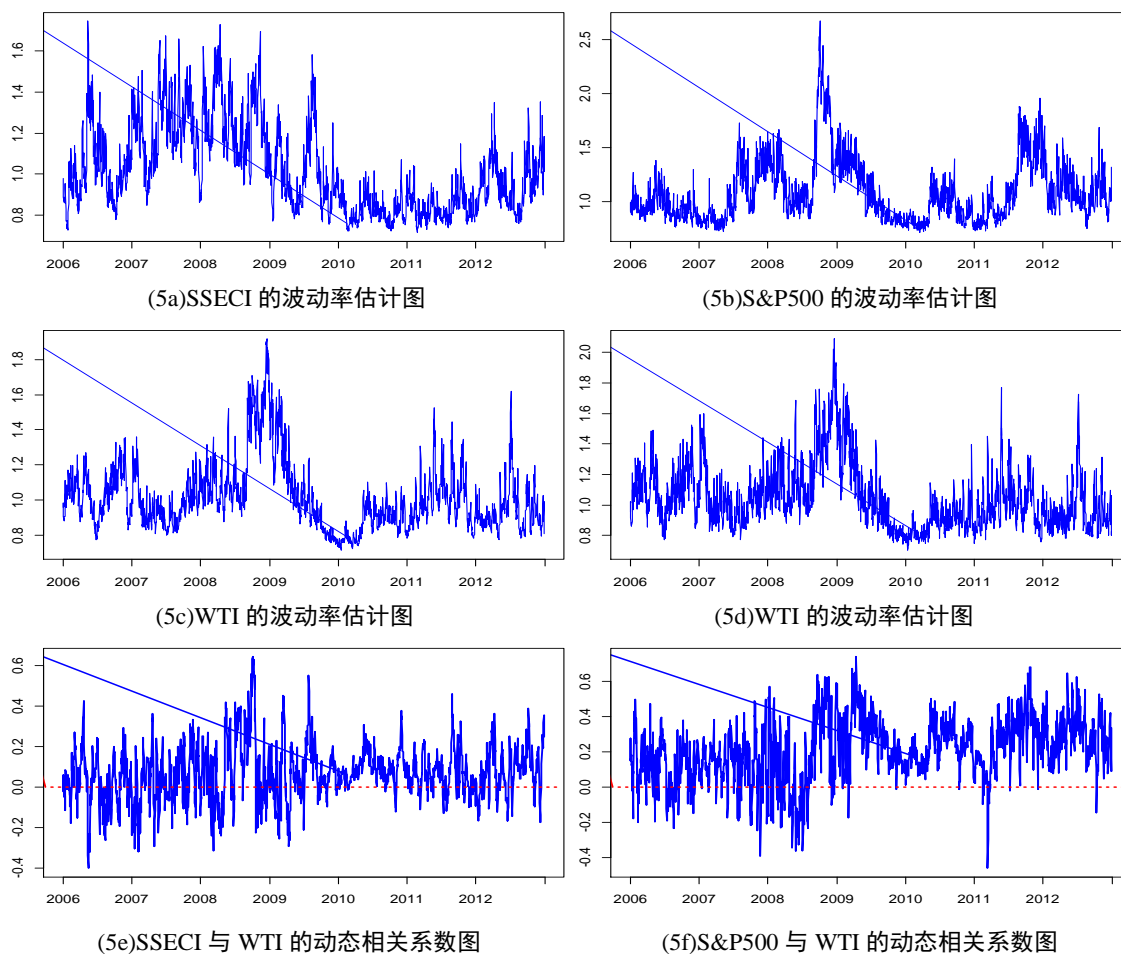


图 5 DC-W-MSV 模型的波动率及动态相关系数图

从图 5 中可以看出, DC-W-MSV 模型的波动率估计图能够很好地拟合的对数收益率时间图 1。

① SSECI 从 2005 年 6 月起开始上涨,并于 2007 年 10 月 16 日达到最高点 6124,随后一路下跌至 2008 年 10 月 28 日的最低 1664 点,之后触底反弹。② 2007 年下半年美国次贷危机爆发,投资者开始对按揭证券的价值失去信心,引发流动性危机,直到 2008 年 9 月,这场金融危机开始失控,向全球蔓延,并导致多间相当大型的金融机构倒闭或被政府接管,从而引发了 2007 年至 2009 年的全球金融危机 S&P500 在此期间波动尤为剧烈。③ WTI 具有波动幅度大,起伏时间快的特征:国际原油价格自 2002 年开始进入单边爆发式上涨阶段,2006 年超过 60 美元/桶,

2008 年 7 月更是达到 145 美元/桶的历史最高点;此后,受到美国“次贷危机”冲击,出现“断崖式”急跌,12 月份为 30.28 美元/桶,半年时间跌去 80%;紧接着,各国政府联合救市,全球经济缓慢复苏,原油价格又节节攀升,2011 年 2 月再次突破百元大关。

从动态相关系数图 5c 中看出,在世界金融危机期间,无论是 SSECI,还是 S&P500,与 WTI 的相关系数都比较大的(绝对值),说明在此期间原油市场与股票市场的相依性是比较强的,但是正负难以判断。金融危机后, SSECI 与 WTI 的相关系数较小,而 S&P500 与 WTI 在呈现明显的正相关性。从指数(价格)的时间图 1 看出,在全球经济逐渐回暖,国内经济增长减

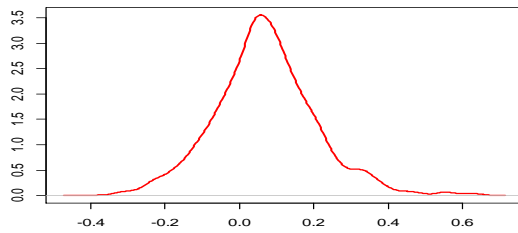
缓的环境下，SSECI 一直表现低迷，而 S&P500 与 WTI 总体上表现上涨的趋势。

表 3 DC-W-MSV 模型的动态相关系数分析

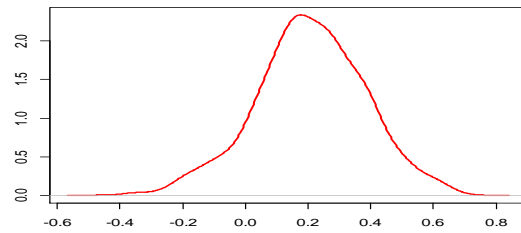
	均值	标准差	最小值	$Q_{0.25}$	$Q_{0.5}$	$Q_{0.75}$	最大值	偏度	超额峰度
SSECI-WTI	0.0644	0.1381	-0.3994	-0.0146	0.0644	0.1453	0.6424	0.3514	0.1629
S&P500-WTI	0.2069	0.1780	-0.4623	0.0974	0.2072	0.3268	0.7376	-0.1777	0.1984

表 3 分析了 SSECI 与 WTI、S&P500 与 WTI 的动态相关系数的统计特征。从表中可知，SSECI

与 WTI 的相关性较小，而 S&P500 与 WTI 呈现正相关性。模型的动态相关系数分布图如下：



(6a)SSECI 与 WTI 动态相关系数分布图



(6b)S&P500 与 WTI 动态相关系数分布图

图 8 DC-W-MSV 模型中动态相关系数分布图

从图 8 可知，动态相关系数具有正态分布的性质。因此，可以利用正态分布的性质估计相关系数置信水平，进行风险管理。

4 结语

针对多变量随机波动模型中时变相关系数的估计问题，在 CC-MSV 模型的基础上，设置精度矩阵服从 Wishart 分布，构建了贝叶斯动态相关 Wishart 多变量随机波动(DC-W-MSV)模型，设计了 Gibbs-MTM-ARMS 混合抽样算法估计模型参数。利用国际原油价格(WTI)、上证综合指数(SSECI)和标普 500 指数(S&P500)进行原油市场与股票市场的动态相依性的实证分析。实证结果表明：模型能够有效刻画原油市场与股票市场的动态相依性。股票市场与原油市场的相关性在金融危机期间表现较强，并且难以判断正负方向；金融危机后，中国股票市场与原油市场相关性极为微弱，而美国股票市场与原油市场则表现较强的正相关性。

参考文献

[1] Kilian L, Park C. The impact of oil price shocks on the US stock market [J]. *International Economic Review*, 2009, 50(4): 1267-1287.
 [2] Wen X, Wei Y, Huang D. Measuring contagion between

energy market and stock market during financial crisis: A copula approach [J]. *Energy Economics*, 2012, 34(5): 1435-1446.

[3] Masih R, Peters S, De Mello L. Oil price volatility and stock price fluctuations in an emerging market: Evidence from South Korea [J]. *Energy Economics*, 2011, 33(5): 975-986.
 [4] Arouri M E H, Rault C. Oil prices and stock markets in GCC countries: empirical evidence from panel analysis [J]. *International Journal of Finance & Economics*, 2012, 17(3): 242-253.
 [5] Nguyen C C, Bhatti M I. Copula model dependency between oil prices and stock markets: Evidence from China and Vietnam [J]. *Journal of International Financial Markets, Institutions and Money*, 2012, 22(4): 758-773.
 [6] Kilian L. Exogenous oil supply shocks: how big are they and how much do they matter for the US economy? [J]. *The Review of Economics and Statistics*, 2008, 90(2): 216-240.
 [7] 刘红忠, 何文忠, 李治平. A 股市场上得“中石油魔咒”现象及其解释 [J]. *财经研究*, 2012, 38(8): 109-121.
 [8] Park J, Ratti R A. Oil price shocks and stock markets in the US and 13 European countries [J]. *Energy Economics*, 2008, 30(5): 2587-2608.
 [9] Miller J I, Ratti R A. Crude oil and stock markets:

- Stability, instability, and bubbles [J]. *Energy Economics*, 2009, 31(4): 559-568.
- [10] 姬强, 范英. 次贷危机前后国际原油市场与中美股票市场间的协同性研究 [J]. *中国管理科学*, 2010, 18(6): 42-50.
- [11] Vo M. Oil and stock market volatility: A multivariate stochastic volatility perspective [J]. *Energy Economics*, 2011, 33(5): 956-965.
- [12] Philipov A, Glickman M E. Multivariate stochastic volatility via Wishart processes [J]. *Journal of Business & Economic Statistics*, 2006, 24(3): 313-328.
- [13] Asai M, McAleer M. The structure of dynamic correlations in multivariate stochastic volatility models [J]. *Journal of Econometrics*, 2009, 150(2): 182-192.
- [14] Bauwens L, Laurent S, Rombouts J V K. Multivariate GARCH models: a survey [J]. *Journal of applied econometrics*, 2006, 21(1): 79-109.
- [15] Asai M, McAleer M, Yu J. Multivariate stochastic volatility: a review [J]. *Econometric Reviews*, 2006, 25(2-3): 145-175.
- [16] Gouriéroux C, Jasiak J, Sufana R. The Wishart autoregressive process of multivariate stochastic volatility [J]. *Journal of Econometrics*, 2009, 150(2): 167-181.
- [17] Golosnoy V, Gribisch B, Liesenfeld R. The conditional autoregressive Wishart model for multivariate stock market volatility [J]. *Journal of Econometrics*, 2012, 167(1): 211-223.
- [18] Jin X, Maheu J M. Modeling realized covariances and returns [J]. *Journal of Financial Econometrics*, 2013, 11(2): 335-369.
- [19] Engle R. Dynamic conditional correlation: A simple class of multivariate generalized autoregressive conditional heteroskedasticity models [J]. *Journal of Business & Economic Statistics*, 2002, 20(3): 339-350.

The Dynamic Dependence Between Crude Oil Market and Stock Market

Based on Bayesian Wishart Multivariate Stochastic Volatility model

ZHU Huiming, PENG Cheng, YOU Wanhai, Deng Chao

(College of Business Administration, Hunan University, Changsha 410082)

Abstract: This paper establishes Bayesian dynamic correlation Wishart volatility model to address estimation problem of time-varying coefficient matrix in multivariate stochastic volatility. In order to make the correlation coefficient matrix incorporated time-varying characteristics, the precision matrices in CC-MSV models are set to following the Wishart distribution. Based on the analysis of statistic structure of model and the selection of parameters prior, the Gibbs-MTM-ARMS sampling algorithm method is utilized to estimate model parameters. The empirical research applies the data of Shanghai Composite Index, S&P500 and crude oil future price. The research results show: the correlation between crude oil market and stock market is strong during the financial crisis, but it is difficult to identify the direction; after the financial crisis, the U.S. stock market is obviously positive correlated with crude oil market, while the correlation between China stock market and crude oil market is very weak; and it indicates that models can effectively depict the dynamic dependency between crude oil market and stock market.

Key words: dynamic dependence; stochastic volatility; Bayesian analysis; Wishart distribution; Gibbs-MTM-ARMS algorithm